CAPÍTULO 2 - EQUILÍBRIO DE FASES EM SISTEMAS SIMPLES - A REGRA DAS FASES

1 - CONDIÇÃO DE EQUILÍBRIO

"O potencial químico de cada constituinte deve possuir o mesmo valor em todos os pontos do sistema"

ex.:
$$água(g) = água(l)$$
 $(\mu_{água})_l = (\mu_{água})_v$

Se o sistema é constituído por um só componente, $\mu = G/n$

$$d\mu = -\overline{S} dT + \overline{V} dP$$
 (1)

Relembrando

$$\left(\frac{\partial \mu}{\partial T}\right)_{p} = -\bar{S} \qquad e \qquad \left(\frac{\partial \mu}{\partial p}\right)_{T} = \bar{V} \qquad (2 a,b)$$

2 - ESTABILIDADE DAS FASES FORMADAS POR UMA SUBSTÂNCIA PURA - INFLUÊNCIA DA TEMPERATURA

Para as três fases de uma substância temos

$$\left(\frac{\partial \mu_{\text{s\'olido}}}{\partial T}\right)_{p} = -\bar{S}_{\text{s\'olido}} \quad \left(\frac{\partial \mu_{\text{l\'q}}}{\partial T}\right)_{p} = -\bar{S}_{\text{l\'q}} \quad \left(\frac{\partial \mu_{\text{g\'as}}}{\partial T}\right)_{p} = -\bar{S}_{\text{g\'as}} \quad (3)$$

$$\overline{S}_{
m gas} \gg \overline{S}_{
m liq.} > \overline{S}_{
m solido}$$

"A fase que apresenta o potencial químico mais baixo é a mais estável"

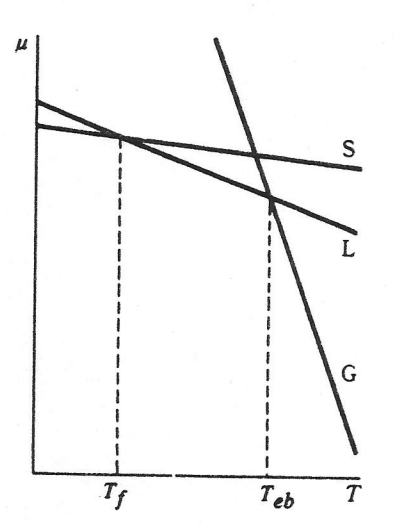


Fig. 1 μ contra T, a pressão constante.

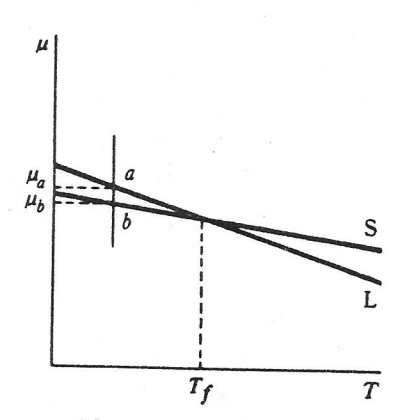


Fig. 2 μ contra T, a pressão constante.

3 - INFLUÊNCIA DA PRESSÃO

 $d\mu = \overline{V} dP$ (4)

Cuando a pussa diminui = μ diminui "O potencial químico decresce proporcionalmente ao volume da fase"

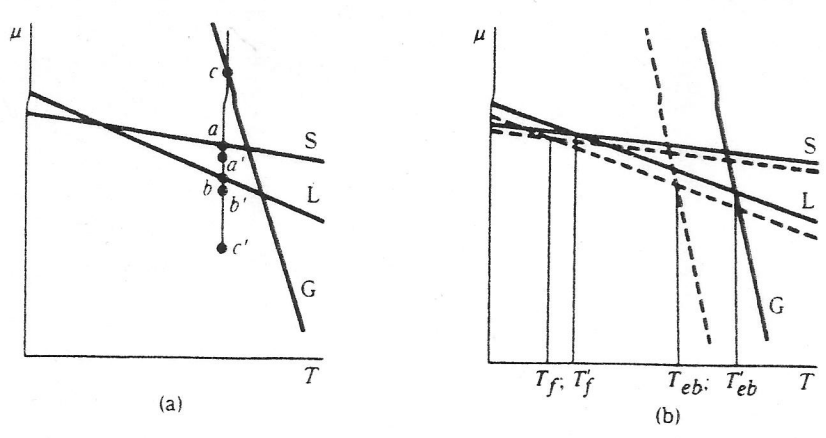


Fig., 3 Efeito da pressão nos pontos de fusão e ebulição. As linhas contínuas correspondem a uma pressão alta e as tracejadas a uma pressão baixa.

Quando a pressão diminui o potencial químico também diminui:

- sólidos e líquidos: pequena variação de volume
- gases: grande variação de volume (logo, > variação do μ)

CONCLUSÕES:

- 1- A ΔP altera a T_{fusão} e a T_{ebulição} de uma substância
- 2- A $\Delta T_{ebulição}$ é muito maior que a $\Delta T_{fusão}$
- 3- Se a pressão for reduzida a um valor suficientemente baixo ($T_{ebulição} < T_{fusão}$) o líquido não possuirá estabilidade em T nenhuma e então verifica-se a SUBLIMAÇÃO do sólido.
- 4- A P(atm) abaixo da qual se observa a SUBLIMAÇÃO pode ser avaliada:

$$\ln P = -10.8 \left(\frac{T_{eb} - T_f}{T_f} \right) \quad \textbf{REGRA DE TROUTON}$$

Evidentemente existe uma pressão na qual as três curvas se interceptam a uma mesma temperatura. Esta pressão e temperatura definem o ponto triplo; todas as três fases coexistem em equilíbrio no ponto triplo.

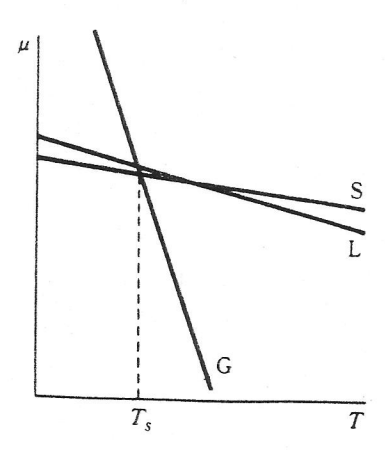


Fig. 12.4 μ contra T para uma substância que sublima.

4-A EQUAÇÃO DE CLAPEYRON

Para duas fases α e β de uma substância pura, a condição de equilíbrio é:

$$\mu_{\alpha}(T, p) = \mu_{\beta}(T, p) \tag{5}$$

se a P variar: P => P + dP e a T de equilíbrio: T ==> T + dT

$$\mu_{\alpha}(T, p) + d\mu_{\alpha} = \mu_{\beta}(T, p) + d\mu_{\beta} \tag{6}$$

$$d\mu_{\alpha}=d\mu_{\beta}.\tag{7}$$

Explicitando cada $d\mu$ em termos de dp e dT mediante a equação fundamental

$$d\mu_{\alpha} = -\bar{S}_{\alpha} dT + \bar{V}_{\alpha} dp \qquad d\mu_{\beta} = -\bar{S}_{\beta} dT + \bar{V}_{\beta} dp.$$

$$-\bar{S}_{\alpha} dT + \bar{V}_{\alpha} dp = -\bar{S}_{\beta} dT + \bar{V}_{\beta} dp. \quad (8)$$

Se a transformação for $\alpha \to \beta$, então $\Delta S = \overline{S}_{\beta} - \overline{S}_{\alpha}$ e $\Delta V = \overline{V}_{\beta} - \overline{V}_{\alpha}$, forma

Eq.
$$\frac{dT}{dp} = \frac{\Delta V}{\Delta S}$$
 ou $\frac{dp}{dT} = \frac{\Delta S}{\Delta V}$. Clarpeyron (9)

5 - EQUILÍBRIO SÓLIDO-LÍQUIDO

$$\Delta S = \bar{S}_{liq} - \bar{S}_{solido} = \Delta S_{fus}$$

$$\Delta V = \bar{V}_{liq} - \bar{V}_{solido} = \Delta V_{fus}$$

Na fusão temos um equilíbrio entre duas fases:

portanto
$$\Delta G = 0$$
, assim $\Delta S_{\text{fus}} = \Delta H_{\text{fus}}/T$

como $\Delta H_f > 0$ (necessita de calor) $\Longrightarrow \Delta S_f > 0$ $\Delta \overline{V}_f > 0$ para a maioria das substâncias

mas para algumas como a água $\,\Delta \overline{V}_{f} < 0 \,\,(\,\,\overline{V}_{sol} > \,\overline{V}_{liq})$

Da equação de Clapeyron:

Estas grandezas ordinariamente apresentam os seguintes valores

$$\Delta S_{\text{fus}} = 8 \text{ a } 25 \text{ J/(K mol)}$$
 $\Delta V_{\text{fus}} = \pm (1 \text{ a } 10) \text{ cm}^3/\text{mol.}$

E cemplificando, admitamos que $\Delta S_{\rm fus}=16~{\rm J/(K~mol)}$ e $\Delta V_{\rm fus}=\pm~4~{\rm cm^3/mol}$; a linha de equilíbrio sólido-líquido terá, dessa forma,

$$\frac{dp}{dT} = \frac{16 \text{ J/(K mol)}}{\pm 4(10^{-6}) \text{ m}^3/\text{mol}} = \pm 4(10^6) \text{ Pa/K} = \pm 40 \text{ atm/K}.$$

Inversamente, $dT/dp = \pm 0.02 \text{ K/atm.}$

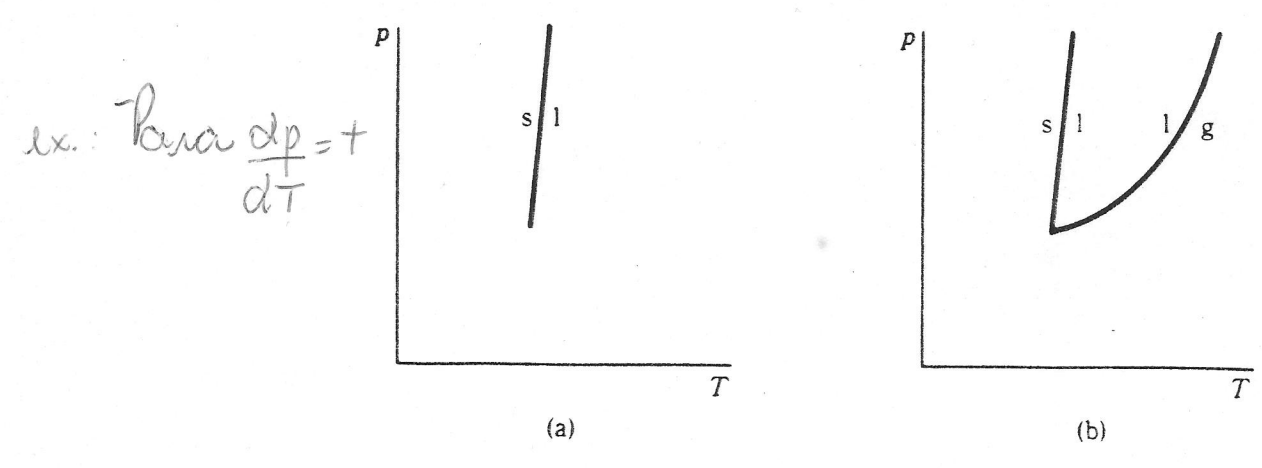


Fig.5 Linhas de equilíbrio. (a) Sólido-líquido. (b) Líquido-vapor.

6 - EQUILÍBRIO ENTRE FASES CONDENSADAS E GÁS

a - LÍQUIDO-GÁS

A aplicação da equação de Clapeyron à transformação líquido - gás nos fornece

$$\Delta S = \bar{S}_{g\acute{a}s} - \bar{S}_{l\acute{q}} = \frac{\Delta H_{vap}}{T} \quad \acute{e} + \quad \text{(todas as substâncias)},$$

$$\Delta V = \overline{V}_{
m gás} - \overline{V}_{
m líq}$$
 é + (todas as substâncias),

e, consequentemente,

$$\frac{dp}{dT} = \frac{\Delta S}{\Delta V} \quad \epsilon + \quad \text{(todas as substâncias)}$$

A linha representativa do equilíbrio líquido-gás possui, sempre, um coeficiente angular positivo. A T e p ordinárias

$$\Delta S \approx +90 \text{ J/K mol}$$
 $\Delta V \approx +20,000 \text{ cm}^3 = 0.02 \text{ m}^3.$

Entretanto, ΔV depende fortemente de T e p, visto que $V_{g\acute{a}s}$ depende fortemente de T e p. A inclinação da curva líquido-gás é pequena comparada à inclinação da curva sólido-líquido:

$$\left(\frac{dp}{dT}\right)_{\text{liq., gás}} \approx \frac{90 \text{ J/K mol}}{0.02 \text{ m}^3/\text{mol}} = 4000 \text{ Pa/K} = 0.04 \text{ atm/K}.$$

b- SÓLIDO-GÁS

Para a transformação sólido → gás, temos

$$\Delta S = \bar{S}_{g\acute{a}s} - \bar{S}_{s\acute{o}lido} = \frac{\Delta H_{sub}}{T} \quad \acute{e} + \quad \text{(todas as substâncias)},$$

$$\Delta V = \overline{V}_{g\acute{a}s} - \overline{V}_{s\acute{o}lido} \acute{e} + (todas as substâncias),$$

e a equação de Clapeyron fica

$$\left(\frac{dp}{dT}\right)_{s-g} = \frac{\Delta S}{\Delta V}$$
 é + (todas as substâncias).

A inclinação da curva s-g é mais pronunciada no ponto triplo do que a da curva 1-g. No ponto triplo, $\Delta H_{\rm sub.} = \Delta H_{\rm fus.} + \Delta H_{\rm vap.}$. Então,

$$\left(\frac{dp}{dT}\right)_{\rm l-g} = \frac{\Delta H_{\rm vap}}{T \ \Delta V} \qquad {\rm e} \qquad \left(\frac{dp}{dT}\right)_{\rm s-g} = \frac{\Delta H_{\rm sub}}{T \ \Delta V}.$$

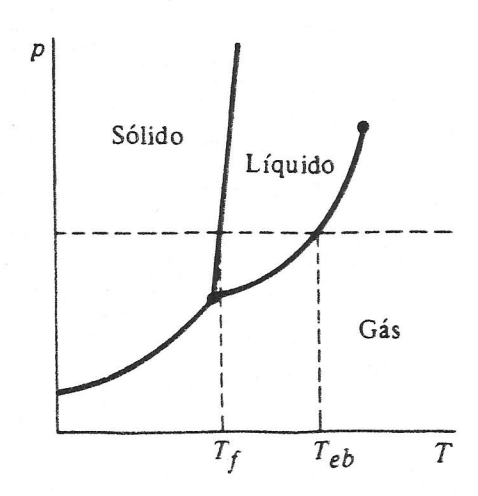


Fig. 6 Diagrama de fase para uma substância simples.

7 - DIAGRAMA DE FASE

O Diagrama de Fase do CO2

O diagrama para o dióxido de carbono aparece esquematizado na Fig. 7. A linha sólido-líquido inclina-se ligeiramente para a direita, pois $\overline{V}_{\text{liq.}} > \overline{V}_{\text{sól.}}$. Notemos que o CO₂ líquido não é estável a pressões inferiores a 5 atm. Por esta razão, o "gelo seco" permanece seco sob as pressões atmosféricas ordinárias. Quando se confina o dióxido de carbono sob pressão em um cilindro a 25°C, o diagrama mostra que, a 67 atm, forma-se CO₂ líquido. Os cilindros comerciais de CO₂ contêm comumente líquido e gás em equilíbrio; a pressão no cilindro está em torno de 67 atm a 25°C.

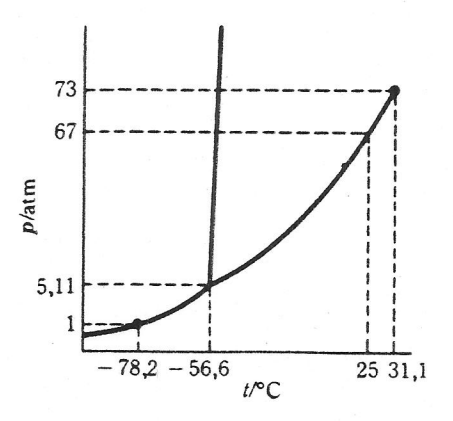


Fig. 7 Diagrama de fase para o CO₂.

O Diagrama de Fases da Água

A Fig. 8 é o diagrama de fase da água sob pressões moderadas. A linha sólido-líquido inclina-se, ligeiramente, à esquerda, visto que $V_{\rm líq.} < V_{\rm sól.}$. O ponto triplo encontra-se a 0,01°C e 611 Pa. O ponto de congelação normal da água é 0,0002°C.

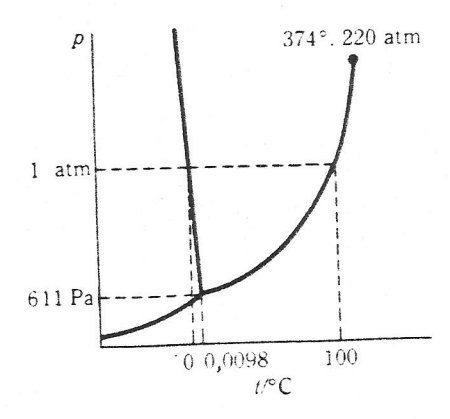


Fig. 8 Diagrama de fase para a água.

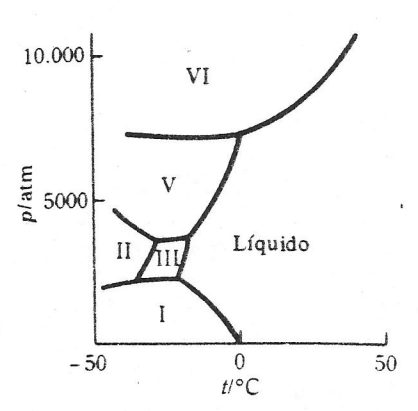


Fig. 9 Diagrama de fase para a água a pressões altas. (Baseado na International Critical Tables of Numerical Data, com permissão da National Academy of Sciences.)

O Diagrama de Fase do Enxofre

A Fig. 10 mostra dois diagramas de fase para o enxofre. A forma estável do enxofre em temperaturas ordinárias e sob 1 atm de pressão é o enxofre rômbico que, quando aquecido lentamente, se transforma em enxofre monoclínico sólido a 95,4°C

Na Fig. 10(a) existem três pontos triplos. As condições de equilíbrio são

a 95,4 °C;
$$\mu_{10} = \mu_{mono} = \mu_{gás}$$

a 119 °C:
$$\mu_{\text{mone}} = \mu_{\text{líq}} = \mu_{\text{gás}}$$

a 151 °C:
$$\mu_{10} = \mu_{mono} = \mu_{liq}$$
.

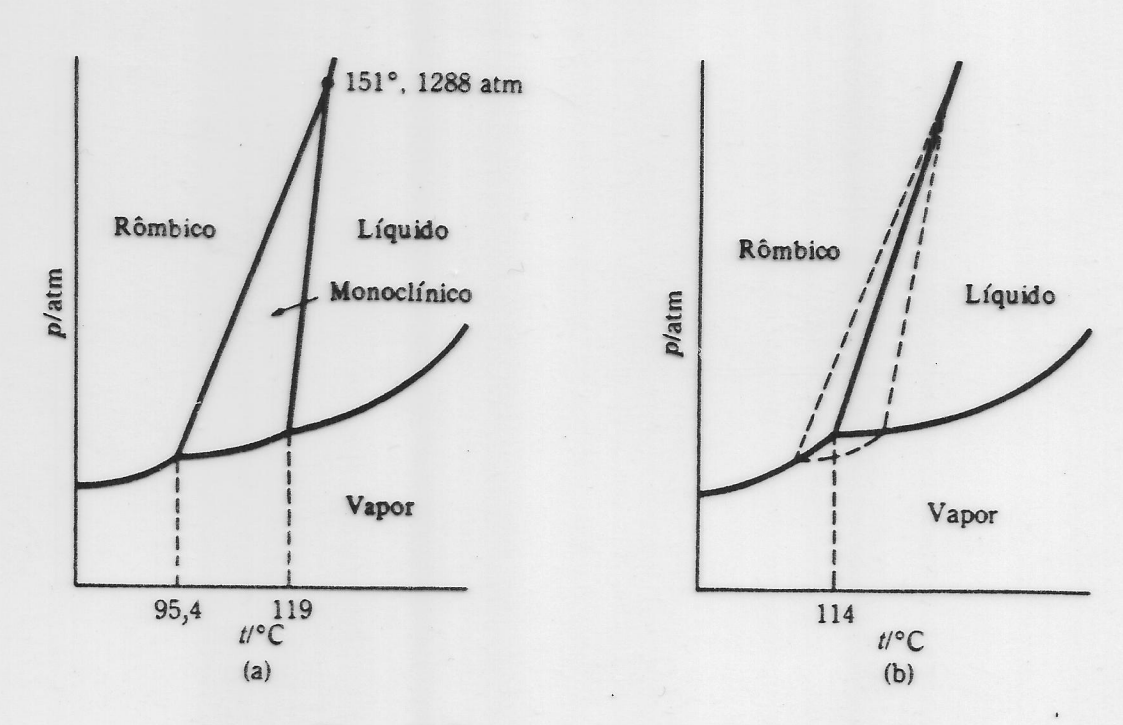


Fig. 10 Diagrama de fase para o enxofre.

A INTEGRAÇÃO DA EQUAÇÃO DE CLAPEYRON

1 Equilíbrio Sólido-Líquido

Neste caso a equação de Clapeyron fica

$$\frac{dp}{dT} = \frac{\Delta S_{\text{fus}}}{\Delta V_{\text{fus}}}.$$

Então

$$\int_{p_1}^{p_2} dp = \int_{T}^{T} \frac{\Delta H_{\text{fus}}}{\Delta V_{\text{fus}}} \frac{dT}{T}.$$

Se $\Delta H_{\rm fus}$ e $\Delta V_{\rm fus}$ forem aproximadamente independentes de T e p, a integração levará a

$$p_2 - p_1 = \frac{\Delta H_{\text{fus}}}{\Delta V_{\text{fus}}} \ln \frac{T'_f}{T_f}, \qquad (11)$$

onde T_f é o ponto de fusão sob a pressão p_2 e T_f é o ponto de fusão sob a pressão p_1 . Como $T_f - T_f$ é geralmente muito pequeno, o logaritmo pode ser desenvolvido da seguinte forma:

$$\ln\left(\frac{T_f'}{T_f}\right) = \ln\left(\frac{T_f + T_f' - T_f}{T_f}\right) = \ln\left(1 + \frac{T_f' - T_f}{T_f}\right) \approx \frac{T_f' - T_f}{T_f};$$

torna-se

$$\Delta p = \frac{\Delta H_{\text{fus}}}{\Delta V_{\text{fus}}} \frac{\Delta T}{T_m}, \qquad (12)$$

onde ΔT é o aumento do ponto de fusão correspondente ao aumento de pressão Δp .

2 Equilíbrio entre a Fase Condensada e o Gás

Para o equilíbrio entre uma fase condensada, sólida ou líquida, com o vapor, temos

$$\frac{dp}{dT} = \frac{\Delta S}{\Delta V} = \frac{\Delta H}{T(\overline{V_g} - \overline{V_c})},$$

onde ΔH é o calor de vaporização molar do líquido ou o calor de sublimação do sólido e V_c é o volume molar do sólido ou do líquido. Na maioria dos casos, $\overline{V}_g - \overline{V}_c \approx \overline{V}_g$ e isto, admitindo-se que o gás seja ideal, equivale a RT/p. Dessa forma, a equação fica

$$\frac{d \ln p}{dT} = \frac{\Delta H}{RT^2},\tag{13}$$

que é conhecida por equação de Clausius-Clapeyron. Esta relaciona a pressão de vapor do líquido (ou sólido) com o calor de vaporização (ou sublimação) e a temperatura. Integrando entre dois limites, admitindo que ΔH seja independente da temperatura, obtém-se que

$$\int_{p_0}^{p} d \ln p = \int_{T_0}^{T} \frac{\Delta H}{RT^2} dT,$$

$$\ln \frac{p}{p_0} = -\frac{\Delta H}{R} \left(\frac{1}{T} - \frac{1}{T_0} \right) = -\frac{\Delta H}{RT} + \frac{\Delta H}{RT_0},$$
(14)

onde p_0 é a pressão de vapor a T_0 e p é a pressão de vapor a T.

$$\ln p = \frac{\Delta H}{RT_0} - \frac{\Delta H}{RT}, \qquad \log_{10} p = \frac{\Delta H}{2,303RT_0} - \frac{\Delta H}{2,303RT}. \tag{15}$$

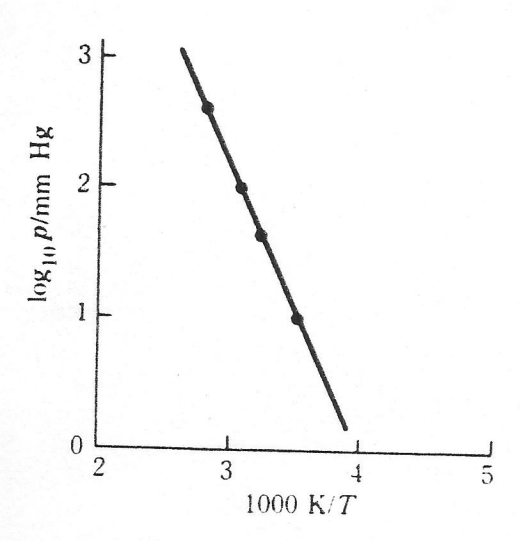


Fig. 12.11 $\log_{10} p/(\text{mmHg})$ contra 1/T para a água.

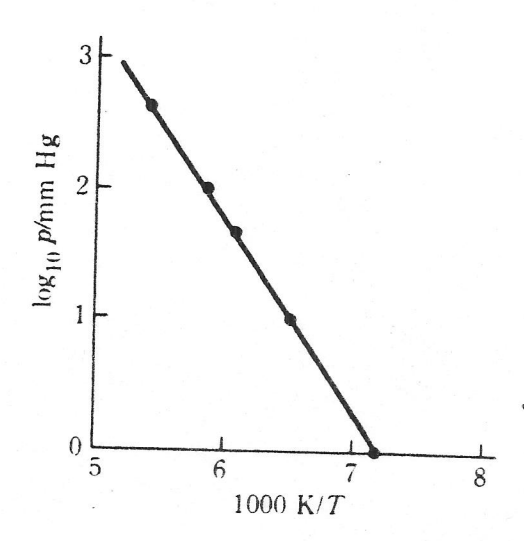


Fig. 12.12 $\log_{10} p/(\text{mmHg})$ contra 1/T para o CO_2 sólido.

PROBLEMAS

- 12.1 O gelo seco tem uma pressão de vapor de 1 atm $a 72.2^{\circ}$ C e 2 atm $a 69.1^{\circ}$ C. Calcule o ΔH de sublimação para o gelo seco.
- 12.2 A pressão de vapor do bromo líquido, a 9,3° C, é 100 torr. Se o calor de vaporização é 30.910 J/mol, calcule o ponto de ebulição do bromo.
- 12.3 A pressão de vapor do éter dietílico é 100 torr a 11,5°C e 400 torr a 17,9°C. Calcule
 - a) o calor de vaporização;
 - b) o ponto de ebulição normal e o ponto de ebulição numa cidade onde a pressão barométrica seja de 620 torr:
 - c) a entropia de vaporização no ponto de ebulição;
 - d) o ΔG° de vaporização a 25° C.
- 12.4 O calor de vaporização da água é 40.670 J/mol no seu ponto de ebulição normal, 100° C. Numa cidade onde a pressão barométrica é de 620 torr,
 - a) qual o ponto de ebulição da água?
 - b) Qual é o ponto de ebulição sob uma pressão de 3 atm?
- A 25°C, ΔG_f° (H₂O, g) = -228,589 kJ/mol e ΔG_f° (H₂O, l) = -237,178 kJ/mol. Qual a pressão de 12.5 vapor da água a 298,15 K?
- 12.6 As pressões de vapor do sódio líquido são

p/Torr	1	10	100
t PC	439	549	701

A partir destes dados determine, graficamente, o ponto de ebulição, o calor de vaporização e a entropia de vaporização no ponto de ebulição para o sódio líquido.

- 12.7 O naftaleno, C₁₀H₈, funde a 80,0°C. Se a pressão de vapor do líquido é 10 torr a 85,8°C e 40 torr a 119,3°C e a do sólido é 1 torr a 52,6°C, calcule
 - a) ΔH_{van} do líquido, o ponto de ebulição e ΔS_{van} em T_{eh} ,
 - b) a pressão de vapor no ponto de fusão.
 - c) Admitindo que as temperaturas do ponto de fusão e do ponto triplo sejam as mesmas, calcule $\Delta H_{\text{sub.}}$ do sólido e $\Delta H_{\text{fus.}}$;
 - d) Qual deve ser a temperatura para que a pressão de vapor do sólido seja inferior a 10⁻⁵ torr?
 - 12.8 O iodo ferve a 183.0° C e a sua pressão de vapor, a 116.5° C, é de 100 torr. Se $\Delta H_{\text{fils}}^{\circ} = 15.65$ kJ/mol e a pressão de vapor do sólido é 1 torr a 38,7°C, calcule
 - a) a temperatura e a pressão no ponto triplo;

 - b) $\Delta H_{\text{vap}}^{\circ} = \Delta S_{\text{vap}}^{\circ};$ c) $\Delta G_{f}^{\circ}(I_{2}, g)$ a 298,15 K.
 - 12.9 Para o amoníaco nós temos

Faça um gráfico ou um ajuste por mínimos quadrados dos dados de $\ln p$ contra 1/T a fim de obter ΔH e o ponto de ebulição normal.

- 12.10 a) Pela combinação da distribuição barométrica com a equação de Clausius-Clapeyron, deduza uma equação relacionando o ponto de ebulição de um líquido com a temperatura da atmosfera, T_a , e a altitude, h. Em (b) e (c) assuma $t_a = 20^{\circ}$ C.
 - b) Para a água, $t_{eb} = 100^{\circ}$ C a 1 atm e $\Delta H_{\rm vap} = 40,670$ kJ/mol. Qual é o ponto de ebulição no topo do Monte Evans, onde h = 4.346 m?
 - c) Para o éter dietílico, $t_{eb.}=34,6^{\circ}$ C a 1 atm e $\Delta H_{\rm vap.}=29,86$ kJ/mol. Qual o seu ponto de ebulição no topo do Monte Evans?
- 12.11 a) A partir do ponto de ebulição T_{eb} de um líquido, admitindo que o líquido obedeça à regra de Trouton, calcule a pressão de vapor em qualquer temperatura T.
 - b) O ponto de ebulição do éter dietílico é 34,6° C. Calcule a pressão de vapor a 25° C.
- 12.12 Para o enxofre, ΔS°_{ναρ}. = 14,6 J/K por mol de S e, para o fósforo, ΔS°_{ναρ}. = 22,5 J/K por mol de P. As fórmulas moleculares destas substâncias são S₈ e P₄. Mostre que com o uso das fórmulas moleculares corretas, as entropias de vaporização teriam valores mais normais.
- 12.13 Deduza a Eq. (12.4).
- 12.14 Se o vapor for considerado um gás ideal, existirá uma relação simples entre a pressão de vapor p e a concentração \tilde{c} (moles/m³) no vapor. Considere um líquido em equilíbrio com o seu vapor. Deduza uma expressão que relacione \tilde{c} com a temperatura neste sistema.
- 12.15 Admitindo que o vapor é ideal e que ΔH_{vap} é independente da temperatura, calcule
 - a) a concentração molar do vapor no ponto de ebulição T_{eb} do líquido.
 - b) Recorrendo aos resultados do Probl. 12.14, ache a expressão de T_H em termos de $\Delta H_{\rm vap.}$ e T_{eb} . A temperatura de Hildebrand, T_H , é a temperatura em que a concentração do vapor é 1/22,414 mol/l.
 - c) A entropia de Hildebrand, $\Delta S_H = \Delta H_{\rm vap.}/T_H$, é razoavelmente constante para muitos líquidos normais. Se $\Delta S_H = 92.5$ J/K mol mediante o resultado do item (b), calcule os valores de T_{eb} para vários valores de T_H . Construa o gráfico de T_H em função de T_{eb} . (Escolha os valores $T_H = 50$, 100, 200, 300, 400 K para o cálculo de T_{eb} .)
 - d) Para os líquidos abaixo calcule ΔS_H e a entropia de Trouton, $\Delta S_T = \Delta H_{\text{vap.}}/T_{eb}$. Note que ΔS_H é mais constante do que ΔS_T (Regra de Hildebrand).

Líquido	$\Delta H_{\text{vap.}}/(\text{kJ/mol})$	$T_{eb.}/K$
Argônio	6,519	87,29
Criptônio	9,029	119,93
Xenônio	12,640	165,1
Oxigênio	6,820	90,19
Metano	8,180	111,67
Dissulfeto de carbono	26,78	319,41

- 12.16 A densidade do diamante é 3,52 g/cm³ e a da grafita é 2,25 g/cm³. A 25°C a energia de Gibbs de formação do diamante, a partir da grafita, é 2,900 kJ/mol. A 25°C, qual a pressão que deve ser aplicada para estabelecer o equilíbrio entre o diamante e a grafita?
- 12.17 A 1 atm de pressão o gelo funde a 273,15 K. $\Delta H_{\rm fus.} = 6,009$ kJ/mol, densidade do gelo = 0,92 g/cm³, densidade do líquido = 1,00 g/cm³.
 - a) Qual é o ponto de fusão do gelo a 50 atm de pressão?
 - b) A lâmina de um patim (de gelo) termina em forma de faca em cada lado do patim. Se a largura da borda das facas é 0,025 mm e o comprimento do patim em contato com o gelo é de 75 mm, calcule a pressão exercida sobre o gelo por um homem que pese 65 kg.
 - c) Qual é o ponto de fusão do gelo sob esta pressão?